

### 돌림힘 곡선 특수값들의 해석법

한국과학기술원 물리학과 허진\*, 신성철

#### Analysis of peculiar values of torque curves

KAIST Jeen Hur\*, Sung-Chul Shin

#### 1. 서론

본 논문에서는 자기화 역전기구 전환 이론[1] 및 일축 비등방성 자성체의 돌림힘 곡선에서 미분 가능한 등근 정점의 존재 조건 및 일축 비등방성 자성체의 돌림힘 곡선의 개형에 대한 연구[2]를 근거로 하여 돌림힘 곡선 특수값들의 해석법에 대해서 보고한다.

#### 2. 본론

자기마당 세기  $H$ 를 고정하고 방향  $\phi$ 를 변화시킬 때, 자기화량이  $M$ 이고 일축 비등방성 에너지가  $K \sin^2\theta$ 로 표현되는 시료가 받는 돌림힘  $\tau$ 를 고려한다. 여기서, 자기화가 역전되는 자기마당의 방향을  $\phi_c$ , 자벽이 생성 또는 이동에 필요한 최소 임계자기마당 세기를  $H_0$ , 비등방성 자기마당 세기를  $H_K (= 2K/M)$ 라 하고, 무차원 자기마당 세기들  $h (= H/H_K)$ ,  $h_0 (= H_0/H_K)$ , 및 무차원 돌림힘  $t (= \tau/K)$ 를 도입하였다.  $h_0$  및  $h$ 에 따라  $t-\phi$  곡선 형태는 이력 현상의 유무, 미분 가능한 정점의 갯수, 자기화 역전기구로 구별되는 8가지 유형 갖는다. 각 유형에 따른 돌림힘 곡선의 특수값들을 표 1에 나타내고, 그림 1에 특수값의 자기마당 의존성을 도식하였다.

$H_K = H/h$  및  $M = 2Kh$ 임을 상기하면, 맞추기 기법 (method of fitting)과 해석적인 방법으로  $K$  및  $h$ 를 측정하여, 비등방성 자기마당 세기 및 자기화량을 측정할 수 있다. 예로서, 하나의 시료에 대해서 자기마당 세기에 의존하는 여러개의 돌림힘 곡선들로부터, 표 1에 나타낸 돌림힘 곡선 특수값들 중 하나를 선택하여 자기마당 세기의 함수로 측정하면, 맞추기 기법으로  $K$  및  $h$ 를 측정할 수 있다. 해석적인 방법의 예로서, 측정된 하나의 돌림힘 곡선에 대해, 그 유형을 파악하고 그 유형에 대해서 성립하는 특수값들 사이의 상호 관계로부터  $K$  및  $h$ 를 측정할 수 있다. A 유형 돌림힘 곡선에 대해서  $K = \tau_{hp+}$ 이 성립하고,  $h = \tau_{\frac{\pi}{2}}' / (2\tau_{hp+} + \tau_{\frac{\pi}{2}}')$  및  $h = (\tau_{\frac{\pi}{2}}' - \tau_0') / (\tau_{\frac{\pi}{2}}' + \tau_0')$  이 성립한다. 여기서,  $\tau_{hp+}$ ,  $\tau_0'$ ,  $\tau_{\frac{\pi}{2}}'$ 은 각각 정점의 높이, 용이축 방향 및 곤란축 방향에서의 기울기이다. A 유형 돌림힘 곡선에 대한 해석적인 방법과 마찬가지로, 이력 현상이 존재하는 여러 유형에 대해서도 해석적인 방법들을 개발하였다.

먼저,  $h \geq h_2$ 를 만족하는 높은 자기마당세기 얻어지는 A, B, C, D, E 유형의 실험 돌림힘곡선으로부터 비등방성 및 포화자기화량을 측정할 수 있는 방법에 대해 설명한다. A, B, C, D, E 유형의 실험적인  $\tau-\phi$ 곡선에서 식  $\tau_{hp+} = K$  및  $h = \tau_0' / (2\tau_{hp+} - \tau_0')$ 의 관계가 성립함을 알 수 있다. 따라서 실험적으로 높은자기마당세기에서 측정된 하나의  $\tau-\phi$ 곡선에서  $\tau_{hp+}$ ,  $\tau_0'$ 들을 측정하면, 위 식들을 이용하여  $K$ 와  $h$ 를 구할 수 있다.

표 1. Peculiar values of  $\tau-\phi$  curves.

Type	Conditions	$K t _{\phi=\frac{\pi}{2}}$	$K \frac{\partial t}{\partial \phi} _{\phi=0}$	$K \frac{\partial t}{\partial \phi} _{\phi=\pi}$	$K \frac{\partial t}{\partial \phi} _{\phi=\frac{\pi}{2}}$
A	$1 \leq h$	0	$\frac{2Kh}{h+1}$	$\frac{2Kh}{h+1}$	$-\frac{2Kh}{h-1}$
C	$h_3 \leq h < 1$	$2Kh\sqrt{1-h^2}$	$\frac{2Kh}{h+1}$	$\frac{2Kh}{h+1}$	$\frac{2Kh^2(2h^2-1)}{h^2-1}$
D	$h_2 \leq h < h_x$	$2Kh\sqrt{1-h^2}$	$\frac{2Kh}{h+1}$	$\frac{2Kh}{h+1}$	$\frac{2Kh^2(2h^2-1)}{h^2-1}$
E	$h_x \leq h < h_3$	$2Kh\sqrt{1-h^2}$	$\frac{2Kh}{h+1}$	$\frac{2Kh}{h+1}$	$\frac{2Kh^2(2h^2-1)}{h^2-1}$
B	$h_2 \leq h < h_3, h_2 \leq h < h_x$	$2Kh\sqrt{1-h^2}$	$\frac{2Kh}{h+1}$	$\frac{2Kh}{h+1}$	$\frac{2Kh^2(2h^2-1)}{h^2-1}$
F	$h_1 < h < h_2$	$2Kh\sqrt{1-h^2}$	$\frac{2Kh}{h+1}$	$\frac{2Kh}{h+1}$	$\frac{2Kh^2(2h^2-1)}{h^2-1}$
G	$h_0 \leq h \leq h_1$	$2Kh\sqrt{1-h^2}$	$\frac{2Kh}{h+1}$	$\frac{2Kh}{h+1}$	$\frac{2Kh^2(2h^2-1)}{h^2-1}$
H	$h < h_0$	$2Kh\sqrt{1-h^2}$	$\frac{2Kh}{h+1}$	$\frac{2Kh}{h-1}$	$\frac{2Kh^2(2h^2-1)}{h^2-1}$

이제; ( $h \leq h_1$ )를 만족하는 낮은 자기마당에서 얻어지는 G 및 H 유형의 실험 돌림힘곡선으로부터 비등방성 및 포화자기화량을 측정하는 방법에 대해 설명한다. G 및 H 유형의 실험 돌림힘곡선에서 얻어지는 등근 양정점의 높이는  $MH = n_{p+}$  을 만족한다. 여기서,  $h = n_{p+}/\tau'_0 - 1$  및  $h = \sqrt{1 - \left(\frac{\tau'_\pi}{n_{p+}}\right)^2}$  가 성립한다. 따라서 실험적으로 높은자기마당세기에서 측정된 하나의  $\tau$ - $\phi$ 곡선에서  $n_{p+}$ ,  $\tau'_{\frac{\pi}{2}}$ ,  $\tau'_0$ 들 중 2개를 측정하면  $h$ 를 구할 수 있다. 한편, A 및 H 유형 돌림힘 곡선들에 대해서는 각각  $\tau_{hp+}\tau'_0 + \tau'_{\frac{\pi}{2}}\tau'_0 - \tau_{hp+}\tau'_{\frac{\pi}{2}} = 0$  및  $2\tau'_0\tau'_\pi + n_{p+}\tau'_0 - n_{p+}\tau'_\pi = 0$ 이 성립한다. 여기서,  $\tau'_\pi$ 는 음의 용이축 방향에서의 기울기이다. 이들 특수값들의 관계는 시료가  $K\sin^2\theta$ 로 표현되는 비등방성 에너지 갖는지 여부를 확인할 수 있는 지표가 될 수 있다.

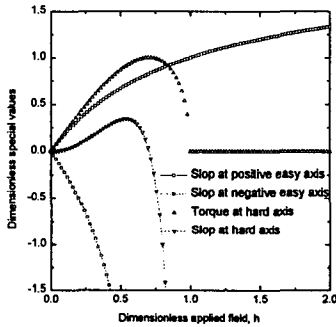


그림 1.  $t$ - $\phi$  곡선 특수값의 자기마당 세기에 대한 의존성.

### 3. 결론

본 연구에서는 단순 일축 비등방성 자성체의 돌림힘곡선의 특수값들을 구하고, 특수값들을 이용하여 비등방성 에너지, 비등방성 자기마당, 포화 자기화량을 측정할 수 있는 방법들을 개발하였다. 이력현상의 유무 및 자기화 역전기구의 종류와 미분 가능한 정점의 갯수에 의해 8가지의 유형으로 구분되는 1차 일축 비등방성 자성체의 돌림힘 곡선들에 적용될 수 있는 측정법들을 개발하였다.

### 4. 참고문헌

- [1] 허진, 신성철, 응용물리, 10 (5), 463 (1997).
- [2] 허진, 신성철, 자기학회, 8 (1), 34 (1998).